

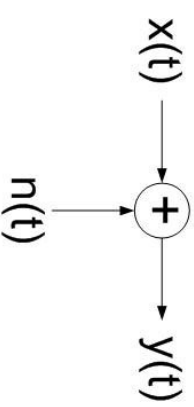
ΕΕΕ725 - Ειδικά Θέματα Ψηφιακών
Επικοινωνιών

Δημήτρης - Αλέξανδρος Τουμπακάκης
6ο Μάθημα – 7 Ιουνίου 2007

Περιεχόμενα σημερινού μαθήματος

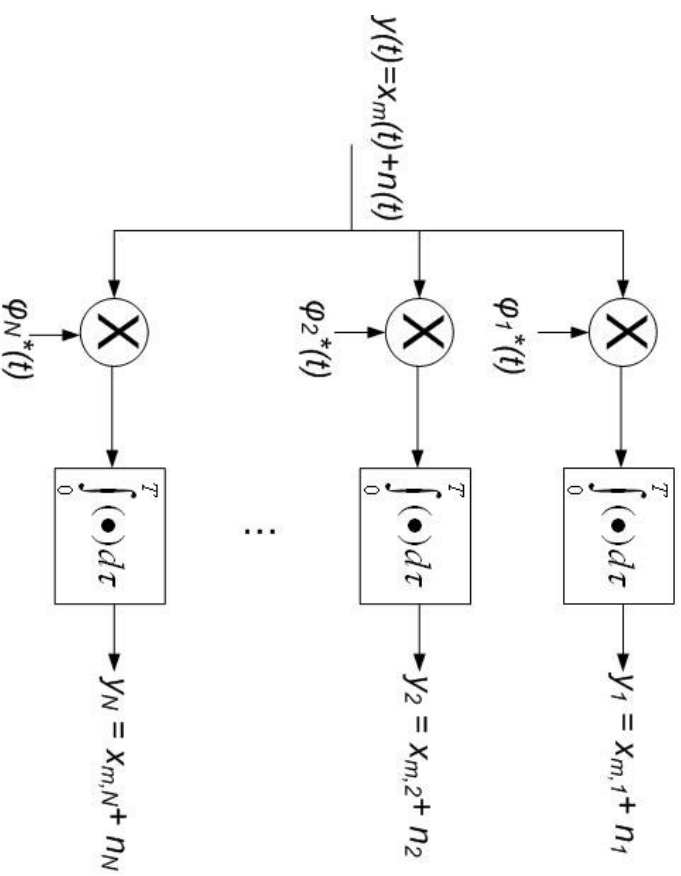
- Το κανάλι Προσθητικού Λευκού Γραυσισιανού Θορύβου (AWGN)
 - Cioffi Ch. 1, Proakis Ch. 5
- Πιθανότητα Λάθους στο Κανάλι AWGN

Το κανάλι **AWGN**



- Ο $\{n(t)\}$ είναι Δευκός Προσθετικός Γκαουσιανός Θόρυβος με $R_n(\tau) = \frac{N_0}{2}\delta(\tau)$ και $E[n(t)] = 0$. Τα δείγματά του ακολουθούν γκαουσιανή κατανομή $\mathcal{N}(0, \frac{N_0}{2})$.
- Εάν υποθέσουμε ότι η μετάδοση διαρκεί T s, $y(t) = x(t) + n(t)$, $t \in [0, T]$.
- Υποθέτουμε, επίσης, ότι το μεταδιδόμενο σήμα $x(t)$ ανήκει σε υπόχωρο \mathcal{V} του $\mathcal{L}_2[0, T]$ διάστασης N . Άρα, μπορεί να εκφραστεί με χρήση των συναρτήσεων βάσης του \mathcal{V} : $x(t) = \sum_{i=1}^N x_i \phi_i(t)$.
- Ο θόρυβος $n(t)$ είναι, στη γενική περίπτωση, άπειρης διάστασης, και, επομένως, οι N συναρτήσεις βάσης $\phi_i(t)$ δεν αρκούν για την περιγραφή του: $n(t) = \sum_{i=1}^N n_i \phi_i(t) + n'(t)$, όπου $n'(t) \in \mathcal{V}^\perp$.

Το διανυσματικό κανάλι **AWGN** μετά τον αποδιαμορφωτή



$$y_i = \int_0^T y(\tau) \phi_i^*(\tau) d\tau = \int_0^T (x_m(\tau) + n(\tau)) \phi_i^*(\tau) d\tau = x_{m,i} + n_i.$$

Το ίδιο αποτέλεσμα, προφανώς, προκύπτει εάν χρησιμοποιήσουμε προσαρμωμένα φίλτρα.

Το διανυσματικό κανάλι **AWGN** μετά τον αποδιαμορφωτή (2)

- $n_i = \int_0^T n(\tau) \phi_i^*(\tau) d\tau$. Η τ.μ. n_i είναι γκαουσιανή με μέση τιμή 0. Επίσης, μπορεί να αποδειχθεί ότι $E[n_i n_j] = \frac{N_0}{2} \delta_{ij} = \sigma^2 \delta_{ij}$.
- Επομένως, τα στοιχεία n_i του διανύσματος θορύβου \mathbf{n} το οποίο υπερτίθεται στο διάνυμα \mathbf{x}_m είναι μεταξύ τους ασυσχέτιστα και, επομένως, ανεξάρτητα (γιατί;).

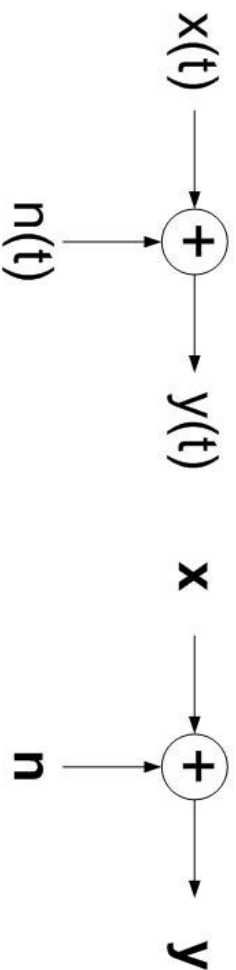
$$\begin{aligned} p(\mathbf{y} | \mathbf{x}_m) &= \prod_{i=1}^N p(y_i | x_{m,i}) = \prod_{i=1}^N \frac{1}{\sqrt{2\pi}\sigma} e^{-\frac{(y_i - x_{m,i})^2}{2\sigma^2}} \\ &= \frac{1}{(2\pi)^{N/2} \sigma^N} e^{-\left\{ \sum_{i=1}^N \frac{(y_i - x_{m,i})^2}{2\sigma^2} \right\}}. \end{aligned}$$

- Υπολογίσαμε, λοιπόν, την $p_{\mathbf{Y}|\mathbf{X}}(\mathbf{y}|\mathbf{x})$ για το διανυσματικό μοντέλο του καναλιού **AWGN**!

Το διανυσματικό κανάλι **AWGN** μετά τον αποδιαμορφωτή (3)

- Επομένως, αντί για το γκαουσιανό κανάλι αφιστερά μπορούμε ισοδύναμα να χρησιμοποιούμε το διανυσματικό γκαουσιανό κανάλι δεξιά, όπου το \mathbf{n} είναι ένα τυχαίο γκαουσιανό διάνυσμα N διαστάσεων με μηδενική μέση τιμή, ασυσχέτιστα μεταξύ τους στοιχεία n_i και κατανομή

$$p_{\mathbf{N}}(\mathbf{n}) = \frac{1}{(\pi N_0)^{N/2}} e^{-\frac{\sum_{i=1}^N |n_i|^2}{N_0}} = \frac{1}{(\pi N_0)^{N/2}} e^{-\frac{\|\mathbf{n}\|^2}{N_0}} = \frac{1}{(2\pi\sigma^2)^{N/2}} e^{-\frac{\|\mathbf{n}\|^2}{2\sigma^2}}.$$



Irrelevance του $n'(t)$.

- Δεν έχουμε, ακόμα, απαντήσει στο εξής ερώτημα: Η χρήση προσαρμωσμένου φίλτρου και, στη συνέχεια, του διανυσματικού μοντέλου καναλιού για να εκτιμήσουμε το μεταδεδειγμένο μήνυμα στο κανάλι **AWGN**, είναι ισοδύναμη με την εκτίμηση του m απευθείας από την $y(t)$ ή κατά τη μετατροπή έχει χαθεί κάποια πληροφορία;
- Μπορεί να αποδειχθεί ότι $E[n'(t)y_i] = 0$ (π.χ. Proakis Ch.5). Επομένως, το $n'(t)$ είναι ανεξάρτητο (γιατί;) των στοιχείων του \mathbf{y} και, συνεπώς, δεν προσφέρει καμία πληροφορία για την εκτίμηση του \mathbf{x} .
- Θυμηθείτε και το θεώρημα προβολής: Δεδομένου ότι το σήμα \mathbf{x}_m ανήκει στον υπόχωρο \mathcal{V} διάστασης N , για να ελαχιστοποιήσουμε το μέσο τετραγωνικό σφάλμα εκτίμησης πρέπει να βρούμε την προβολή του \mathbf{y} στον \mathcal{V} . Αυτό ακριβώς κάνουν ο αποδιαμορφωτής προσαρμωσμένων φίλτρων και ο συνελκτικώς αποδιαμορφωτής.
- Άρα, η χρήση προσαρμωσμένου φίλτρου (ή συσχετιστικού αποδιαμορφωτή) διατηρεί όλη την πληροφορία που σχετίζεται με την ανίχνευση των $x_{m,i}$.
- Για την ολοκληρωμένη απόδειξη, με χρήση του ότι το $n'(t)$ είναι irrelevant βλ. Cioffi Ch. 1.

Ανίχνευση MAP/ML στο γκαουσιανό διανυσματικό κανάλι

- Είδαμε ότι, για το γκαουσιανό διανυσματικό κανάλι,

$$p(\mathbf{y}|\mathbf{x}_i) = \frac{1}{(2\pi)^{N/2}\sigma^N} e^{-\frac{\|\mathbf{y}-\mathbf{x}_i\|^2}{2\sigma^2}}.$$

- Επομένως, ο κανόνας ανίχνευσης MAP για το γκαουσιανό κανάλι μπορεί να γραφτεί ως εξής:

$$\hat{m} = m_i \text{ εάν } p_{Y|X}(\mathbf{y}|\mathbf{x}_i)p_X(\mathbf{x}_i) \geq p_{Y|X}(\mathbf{y}|\mathbf{x}_j)p_X(\mathbf{x}_j) \quad \forall j \neq i$$

$$\hat{m} = m_i \text{ εάν } \frac{1}{(2\pi)^{N/2}\sigma^N} e^{-\frac{\|\mathbf{y}-\mathbf{x}_i\|^2}{2\sigma^2}} p_X(\mathbf{x}_i) \geq \frac{1}{(2\pi)^{N/2}\sigma^N} e^{-\frac{\|\mathbf{y}-\mathbf{x}_j\|^2}{2\sigma^2}} p_X(\mathbf{x}_j) \quad \forall j \neq i$$

$$\hat{m} = m_i \text{ εάν } e^{-\frac{\|\mathbf{y}-\mathbf{x}_i\|^2}{2\sigma^2}} p_X(\mathbf{x}_i) \geq e^{-\frac{\|\mathbf{y}-\mathbf{x}_j\|^2}{2\sigma^2}} p_X(\mathbf{x}_j) \quad \forall j \neq i$$

$$\hat{m} = m_i \text{ εάν } \|\mathbf{y} - \mathbf{x}_i\|^2 - 2\sigma^2 \ln\{p_X(\mathbf{x}_i)\} \leq \|\mathbf{y} - \mathbf{x}_j\|^2 - 2\sigma^2 \ln\{p_X(\mathbf{x}_j)\} \quad \forall j \neq i$$

Ανίχνευση **MAP/ML** στο γκαουσιανό διανυσματικό κανάλι

(2)

- Κανόνας **MAP**:

$$\hat{m} = m_i \text{ εάν } \| \mathbf{y} - \mathbf{x}_i \|^2 - 2\sigma^2 \ln\{p_{\mathbf{x}}(\mathbf{x}_i)\} \leq \| \mathbf{y} - \mathbf{x}_j \|^2 - 2\sigma^2 \ln\{p_{\mathbf{x}}(\mathbf{x}_j)\} \quad \forall j \neq i$$

- Κανόνας **ML** (γιατί;):

$$\hat{m} = m_i \text{ εάν } \| \mathbf{y} - \mathbf{x}_i \|^2 \leq \| \mathbf{y} - \mathbf{x}_j \|^2 \quad \forall j \neq i$$

- Άρα, ο ανιχνευτής **ML** επιλέγει το διάνυσμα \mathbf{x}_i με τη μικρότερη Ευκλείδεια απόσταση από το διάνυσμα \mathbf{y} στην έξοδο του αποδιαμορφωτή προσαρμωμένου φίλτρου. Ο ανιχνευτής **MAP** χρησιμοποιεί την απόσταση σε συνδυασμό με μια σταθερά που εξαρτάται από την κατανομή των \mathbf{x}_i .

Πιθανότητα Λάθους στο Κανάλι **AWGN**

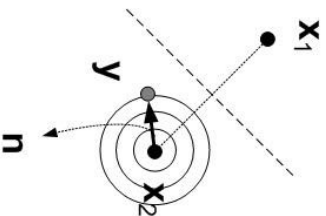
- Το κανάλι Προσθετικού Λευκού Γκαουσιανού Θορύβου (AWGN)
- Πιθανότητα Λάθους στο Κανάλι **AWGN**
 - Cioffi Ch. 1, Proakis Ch. 5

Πιθανότητα Λάθους στο Κανάλι **AWGN**

- Διανυσματικό γκαουσιανό κανάλι: $\mathbf{y} = \mathbf{x} + \mathbf{n}$.
- Πιθανότητα λάθους $P_e = \sum_{m=0}^{M-1} P_{e|m} p_m$, όπου $P_{e|m}$ η πιθανότητα λάθους δεδομένου ότι μεταδόθηκε το σημείο m του αστερισμού και p_m η πιθανότητα μετάδοσης του σημείου m .
- $P_e = \frac{1}{M} \sum_{m=0}^{M-1} P_{e|m}$ όταν όλα τα σύμβολα μεταδίδονται με την ίδια πιθανότητα.
- Περιστροφή αστερισμού: Εάν ο αστερισμός περιστραφεί στον Ευκλείδειο χώρο (σε κανάλια **AWGN**) η P_e δεν αλλάζει, επειδή η κατανομή του θορύβου παραμένει η ίδια και οι ευκλείδειες αποστάσεις τις οποίες χρησιμοποιεί ο ανιχνευτής **MAP** (και **ML**) διατηρούνται.
- Μετατόπιση αστερισμού: Η P_e παραμένει αμετάβλητη όταν ο αστερισμός μετατοπίζεται στον Ευκλείδειο χώρο.
- Για ένα δεδομένο αστερισμό, για να ελαχιστοποιήσουμε την ισχύ του, εάν $E[\mathbf{x}] \neq \mathbf{0}$ τον μετατοπίζουμε ώστε $E[\mathbf{x}] = \mathbf{0}$.
- Για λεπτομέρειες / αποδείξεις, βλ. π.χ. **Cioffi Ch. 1**.

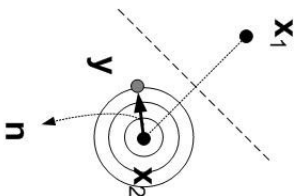
P_e για δυαδική μετάδοση

- Έστω ένας αστερισμός στο N —διάστατο χώρο με δύο σύμβολα και κανάλι AWGN. Ο ανιχνευτής ML θα επιλέξει το \mathbf{x}_i με τη μικρότερη Ευκλείδεια απόσταση από το \mathbf{y} . Ισοδύναμα, μπορεί να χρησιμοποιήσει την προβολή του \mathbf{y} στην κατεύθυνση $\mathbf{x}_2 - \mathbf{x}_1$ (γιατί;)



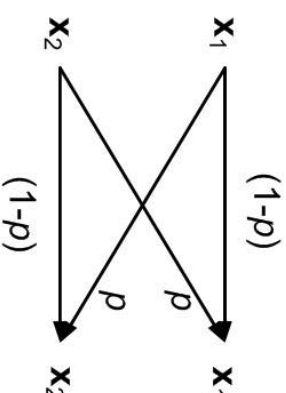
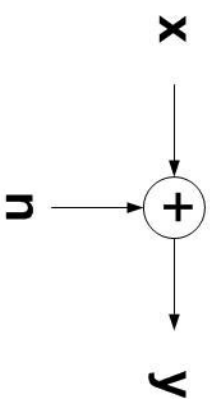
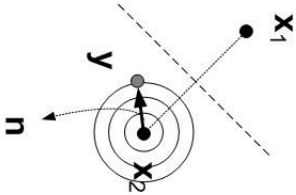
- Εάν προβάλουμε το γραμμικό προϊόν $\mathbf{x}_1 - \mathbf{x}_2$ παραμένει γραμμικό.
- Επιπλέον, δεδομένου ότι μεταδόθηκε το \mathbf{x}_2 , σφάλμα θα συμβεί όταν $\langle \mathbf{n}, \phi \rangle > \frac{\|\mathbf{x}_1 - \mathbf{x}_2\|}{2}$, όπου ϕ το μοναδιαίο διάνυσμα στην κατεύθυνση $\mathbf{x}_1 - \mathbf{x}_2$.

P_e για δυαδική μετάδοση (2)



- Επομένως, εάν $\|\mathbf{x}_2 - \mathbf{x}_1\| = d$, $P_e = Pr \{ \langle \mathbf{n}, \phi \rangle = \tilde{n} > \frac{d}{2} \}$.
- $P_{e|\mathbf{x}_1} = P_{e|\mathbf{x}_2} = P_e = \int_{\frac{d}{2}}^{\infty} f_{\tilde{N}}(n) dn = \int_{\frac{d}{2}}^{\infty} \frac{1}{\sqrt{2\pi}\sigma} e^{-\frac{n^2}{2\sigma^2}} dn = \int_{\frac{d}{2\sigma}}^{\infty} \frac{1}{\sqrt{2\pi}} e^{-\frac{u^2}{2}} du \Rightarrow$
 $P_e = Q\left(\frac{d}{2\sigma}\right)$, όπου $Q(x) = \frac{1}{\sqrt{2\pi}} \int_x^{\infty} e^{-\frac{u^2}{2}} du$ η συνάρτηση Q .
- Η Q δεν έχει αναλυτική έκφραση, αλλά μπορεί να προσεγγιστεί με φράγματα (βλ. π.χ. Cioffi Ch. 1 Appendix B, Lee & Messerschmitt Ch. 1).
- $Q(x) = \frac{1}{2} \text{erfc}\left(\frac{x}{\sqrt{2}}\right)$ (Χρήσιμο στη Matlab).

P_e για δυαδική μετάδοση (3)



- Για τον υπολογισμό της P_e χρησιμοποιήσαμε γκαουσιανό κανάλι με 2 μεταδιδόμενα σήματα: \mathbf{x}_1 και \mathbf{x}_2 .
- Διανουσματοικό γκαουσιανό κανάλι: $f(\mathbf{y}|\mathbf{x}_i) = \frac{1}{(2\pi)^{N/2}\sigma^N} e^{-\frac{\|\mathbf{y}-\mathbf{x}_i\|^2}{2\sigma^2}}$, $i = 1$ και 2 .
- Εάν εκτιμήσουμε το κανάλι με κανόνα ML: $p(\hat{\mathbf{x}} = \mathbf{x}_i|\mathbf{x}_i) = 1 - P_e = 1 - Q\left(\frac{d}{2\sigma}\right)$. $p(\hat{\mathbf{x}} = \mathbf{x}_2|\mathbf{x}_1) = p(\hat{\mathbf{x}} = \mathbf{x}_1|\mathbf{x}_2) = P_e \Rightarrow$ Το κανάλι από το \mathbf{x} στο $\hat{\mathbf{x}}$ όταν χρησιμοποιείται δυαδικός ML είναι το δυαδικό συμμετρικό κανάλι (BSC) με $p = P_e$!
- Ειδομένως, ένα σύστημα μπορεί να περιγραφεται από διαφορετικά μοντέλα αναλόγως με την υλοποίηση και τα σήματα που χρησιμοποιούμε για την περιγραφή του.

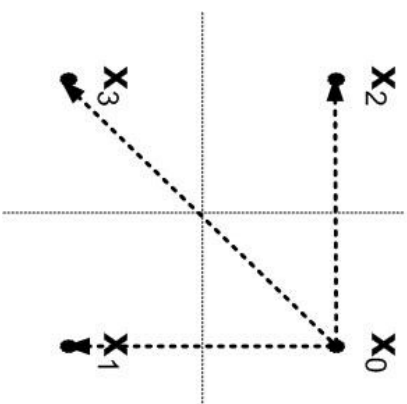
Ελάχιστη απόσταση αστερισμού

Η ελάχιστη απόσταση αστερισμού ορίζεται ως η ελάχιστη απόσταση μεταξύ οποιωνδήποτε δύο συμβόλων του αστερισμού.

$$d_{\min} \triangleq \min_{i \neq j} \|\mathbf{x}_i - \mathbf{x}_j\|.$$

Όπως θα δούμε σύντομα, η πιθανότητα λάθους στο δέκτη εξαρτάται σε μεγάλο βαθμό από τη d_{\min} του αστερισμού.

Union Bound



- Υποθέτουμε ότι έχει μεταδοθεί το \mathbf{x}_0 . Επομένως, η πιθανότητα λάθους ισούται με

$$\begin{aligned} P_{e|0} &\stackrel{\text{γιατί;}}{=} \sum_{i=1}^3 P_r\{\hat{\mathbf{x}} = \mathbf{x}_i | \mathbf{x} = \mathbf{x}_0\} < \stackrel{\text{γιατί;}}{=} \sum_{i=1}^3 Q\left(\frac{d_{0,i}}{2\sigma}\right) \\ &< \stackrel{\text{γιατί;}}{=} \sum_{i=1}^3 Q\left(\frac{d_{\min}}{2\sigma}\right) = 3Q\left(\frac{d_{\min}}{2\sigma}\right). \end{aligned}$$

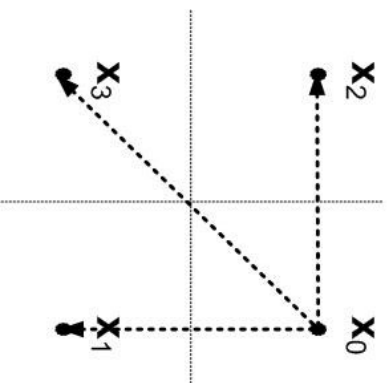
Union Bound (2)

- Ομοίως, για τα υπόλοιπα \mathbf{x}_i , $P_{e|i} < 3Q \left(\frac{d_{\min}}{2\sigma} \right)$.
- Union bound: $P_e < (N - 1)Q \left(\frac{d_{\min}}{2\sigma} \right)$, όπου N ο αριθμός των σημάτων του α-στερισμού.
- Άνω φράγμα, αλλά σπανίως ακριβές. Πολλές φορές απέχει πολύ από την πραγματική P_e .
- Καλύτερο φράγμα: Nearest Neighbor Union Bound (NNUB).

Nearest Neighbor Union Bound (NNUB)

- $$P_e \leq N_e Q\left(\frac{d_{\min}}{2\sigma}\right),$$

όπου $N_e = \sum_{m=0}^{M-1} N_m p_{\mathbf{x}_m}$, N_m ο αριθμός των συμβόλων του αστερισμού των οποίων οι περιοχές απόφασης εφάπτονται με αυτή του \mathbf{x}_m .



- Στο προηγούμενο παράδειγμα, εάν ο θόρυβος διασχίσει την οριζόντια ή την κάθετη γραμμή θα έχουμε σφάλμα μετάδοσης. Επομένως, P_e ^{γιατί;} $< 2Q\left(\frac{d_{\min}}{2\sigma}\right)$. Παρατηρήστε ότι $N_e = 2$ (έχουμε υποθέσει ότι τα μεταδιδόμενα σήματα είναι ισοπίθανα).

Nearest Neighbor Union Bound (NNUB) (2)

- Συχνά, για τον υπολογισμό του μέσου αριθμού γειτόνων $N_e = \sum_{m=0}^{M-1} N_m p_{\mathbf{x}_m}$ χρησιμοποιούνται μόνο οι γείτονες κάθε συμβόλου \mathbf{x}_m οι οποίοι απέχουν την ελάχιστη Ευκλείδεια απόσταση d_{\min} .
- Στην περίπτωση αυτή το προσεγγιστικό NNUB που προκύπτει ενδέχεται να μην είναι άνω φράγμα της P_e .
- Ωστόσο, στην πράξη, αποτελεί συνήθως καλή προσέγγιση της P_e με αποτέλεσμα πολλές φορές όταν σχεδιαστές αναφέρονται στο NNUB να εννοούν το προσεγγιστικό NNUB.